

## БЫСТРАЯ ВОЛНА ИОНИЗАЦИИ, ВОЗБУЖДАЕМАЯ В ГАЗОВОЙ СРЕДЕ ЭЛЕКТРОМАГНИТНЫМ ЛУЧОМ

Н.А. Богатов, Ю.Я. Бродский, С.В. Голубев, С.И. Грицинин, В.Г. Зорин  
И.А. Коссый, Н.М. Таракова

УДК 537.56

С помощью фотохронографа ФЭР-7 исследовалась динамика распространения инициированного СВЧ разряда (при значениях параметра  $E/N$  меньше пороговых) для двух длин волны СВЧ излучения. Обнаружено скачкообразное распространение разряда со сверхзвуковыми скоростями. Предлагается модель, объясняющая механизм распространения.

В [1] опубликованы первые экспериментальные данные о неравновесном СВЧ разряде высокого давления в волновом пучке, из которых можно заключить, что фронт ионизации такого разряда движется навстречу падающей волне со сверхзвуковой скоростью. Исследования, проведенные в работе [2], показали, что при малых интенсивностях излучения распространение разряда с звуковой скоростью связано с поглощением энергии падающей волны в плазменном ореоле, возникающем под действием ионизирующего ультрафиолетового излучения из разряда.

Целью данной работы является исследование роли предплазмы в механизмах сверхзвукового движения СВЧ разряда. Так как динамика разряда существенно зависит от соотношения между длиной волны и размером плазменного ореола, в экспериментах использовалось излучение на двух длинах волн: семимиллиметрового и двухсантиметрового диапазона. Интенсивность излучения достигала  $S \approx 4 \cdot 10^4 \text{ Вт}/\text{см}^2$ . Измерения параметров разряда проводились в диапазоне давлений 100-800 торр (использовался технический и особо чистый азот). Параметр  $E_e/N_m$  ( $E_e$  – эффективное электрическое поле,  $N_m$  – концентрация молекул газа) изменялся в пределах  $(1 \div + 5) \cdot 10^{16} \text{ В} \cdot \text{см}^2$  и соответствовал значениям, меньшим пороговых для возникновения пробоя. В связи с этим для возбуждения разряда приходилось использовать инициаторы, в качестве которых применялись лазерный фокус [1] (см. рис. 1) или "метелка" из проволочек [2]. Динамика разряда исследовалась с помощью фотохронографа ФЭР-7, коллимированных ФЭУ, электрических зондов. Плотность плазмы определялась по поглощению диагностического СВЧ сигнала с частотой 10 ГГц, распространяющегося по

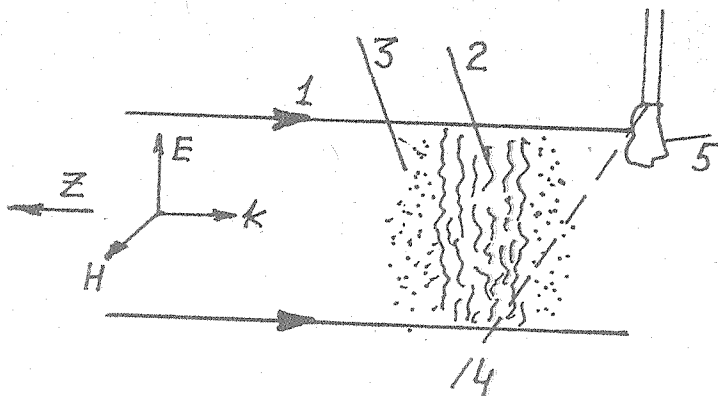
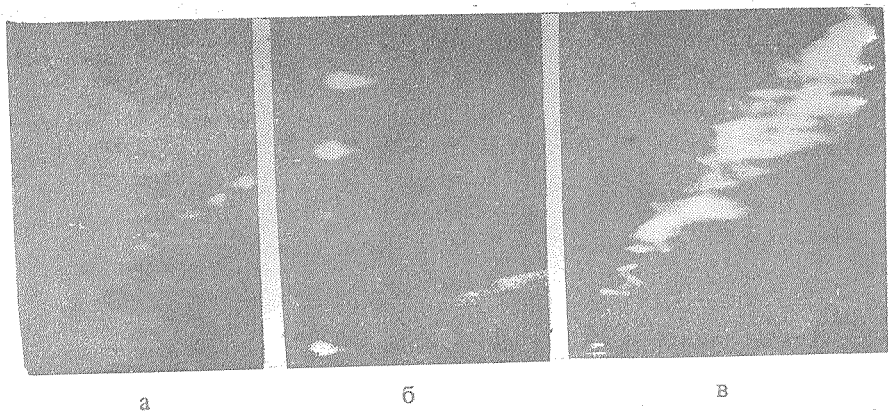


Рис. 1. Схема эксперимента: 1 – границы СВЧ пучка, 2 – СВЧ разряд, 3 – плазменный ореол, 4 – луч инициирующего лазера, 5 – лазерный факел.

двуихпроводной линии перпендикулярно оси разряда. Диапазон измеряемых концентраций  $10^{10} - 10^{13} \text{ см}^{-3}$ .

Исследования показали, что разряд имел мелкомасштабную структуру – состоял из совокупности ярко светящихся каналов с характернымоперечным размером  $\lesssim 1 \text{ мм}$ , вытянутых вдоль поля  $\vec{E}$  падающей волны и расположенных хаотически [1]. Длительность свечения канала порядка 1 мкс. Динамика разряда иллюстрируется на рис. 2, где приведены типичные хронограммы разрядов, возникающих в миллиметровом (а) и сантиметровом (б, в) диапазонах длин волн. Как хорошо видно из приведенных фотографий, движение разряда происходило скачками, величина которых зависела от длины волны излучения и давления газа. В миллиметровом диапазоне характерный масштаб скачка составлял  $\sim 1.5\text{-}2 \text{ мм}$  ( $\sim \lambda/4$ ), в сантиметровом – имелось два масштаба: один также был порядка миллиметра, другой – равнялся 0,6 см ( $\sim \lambda/4$ ). В миллиметровом диапазоне длина скачка не зависела от давления, в сантиметровом – при больших давлениях пропадал большой масштаб. Усредненная по скачкам скорость движения разряда превышала звуковую и достигала величины  $3 \cdot 10^5 \text{ см}/\text{с}$ . В то же время скорость движения отдельных плазмоидов оставалась дозвуковой.

Исследования распределения плотности плазмы вдоль оси разряда показали, что перед его фронтом имеется плазменный ореол (толщиной  $l \sim 0.5 \text{ см}$  при  $p = 700 \text{ торр}$ ), в котором концентрация электронов достигала величины  $N_e \approx 10^{13} \text{ см}^{-3}$ . В самом разряде плотность заряженных частиц рез-



Р и с. 2. Типичные хронограммы разряда в миллиметровом (а) и сантиметровом (б, в) диапазонах: (а) –  $S = 3 \cdot 10^4 \text{ Вт}/\text{см}^2$ ,  $p = 200 \text{ торр}$ , (б) –  $S = 4 \cdot 10^4 \text{ Вт}/\text{см}^2$ ,  $p = 120 \text{ торр}$ , (в) –  $S = 4 \cdot 10^4 \text{ Вт}/\text{см}^2$ ,  $p = 500 \text{ торр}$

ко возрастала и превышала концентрацию в ореоле более чем на порядок.

Наличие ореола позволяет объяснить динамику разряда. Действительно, СВЧ пучок частично поглощается в плазме ореола и греет газовую среду. В результате развития в этих условиях ионизационно-перегревной неустойчивости /3/ происходит стратификация разряда. Расширение газа в нагретой области приводит к снижению концентрации молекул  $N_m$  и, соответственно, к увеличению параметра  $E_e/N_m$ . Если температура, до которой нагреется газ, удовлетворяет соотношению  $T_m > T_m^*$  ( $T_m^*$  – температура молекул, при которой после вытеснения газа из нагретой области возникает самостоятельный разряд), то в области ореола разовьется самостоятельный разряд, и фронт переместится на некоторое расстояние  $L$  навстречу излучению. Скорость движения разряда  $v = L/\tau$ , где  $\tau$  – время нагрева и вытеснения газа до "пробойного" уровня из области с размером, определяемым масштабом ионизационно-перегревной неустойчивости.

Появление скачков может быть связано с локальным прогревом газа в ореоле на некотором расстоянии от фронта разряда за счет наличия максимумов в распределении плотности поглощенной энергии  $W = \sigma E^2$ , которые могут возникнуть по двум причинам. В случае  $\lambda/4 < l$  (размер ореола определяется длиной свободного пробега ионизирующих квантов /4/), максимумы могут возникнуть из-за отражения падающей волны от переднего фронта

разряда. При этом первый максимум стоячей структуры поля находится в ореоле на расстоянии  $\approx \lambda/4$  от разряда. В этой области в результате нагрева образуется "ямка" плотности и возникает самостоятельный разряд. Далее картина развития разряда повторяется многократно, а скачки следуют с характерным масштабом  $L \approx \lambda/4$ . Такая ситуация, на наш взгляд, реализуется при всех исследуемых давлениях в экспериментах с миллиметровым излучением, а также определяет масштаб больших скачков в сантиметровом диапазоне длин волн при низких давлениях, когда длина свободного пробега ионизирующих квантов превышает  $\lambda/4$ .

При высоких давлениях характерный масштаб ореола уменьшается и скачки с масштабом  $\lambda/4$  в сантиметровом диапазоне длин волн существовать не могут. В этих условиях величина  $W = \sigma E_e^2$ , являющаяся произведением спадающей в направлении распространения функции  $\sigma$  и нарастающей функции  $E_e^2$ , может иметь максимум на расстоянии  $L \leq 1$  от фронта разряда. Этим, по-видимому, объясняется наличие мелкого масштаба в разряде сантиметрового диапазона длин волн.

Характерное время нагрева газа в ореоле можно оценить из энергетических соображений:  $\sigma E^2 \tau_n = c_p \rho (T_m - T_m^*)$ , где  $\rho$  — плотность нагреваемого газа,  $c_p$  — теплоемкость газа при постоянном давлении. Время вытеснения газа из области нагрева при развитии ионизационно-перегревной неустойчивости много меньше времени нагрева и им можно пренебречь. При этом скорость перемещения разряда, определяемая из отношения длины скачка  $L$  к времени нагрева  $\tau$ ,  $v = L/\tau_n = 2\pi\lambda S/c_p \rho c (T_m - T_m^*)$ , удовлетворительно согласуется с экспериментом. Например, в миллиметровом диапазоне при  $p = 700$  торр,  $S = 3.5 \cdot 10^4$  Вт/см<sup>2</sup> измеренная и рассчитанная скорость  $\sim 10^5$  см/с, в сантиметровом диапазоне при  $p = 180$  торр,  $S = 2 \cdot 10^4$  Вт/см<sup>2</sup> измеренная скорость  $v_c = 2 \cdot 10^5$  см/с, рассчитанная  $v_c = 5 \cdot 10^5$  см/с.

Таким образом, в рамках предложенной модели непротиворечивым образом объясняются "скаккообразный" характер сверхзвукового движения волны ионизации и неоднородный вид разряда.

Авторы благодарны Г.М. Батанову и А.Г. Литваку за обсуждения и полезные замечания.

Поступила в редакцию 19 апреля 1984 г.

#### ЛИТЕРАТУРА

1. С.И. Гришинин и др., Препринт ФИАН № 90, М., 1983 г.
2. Ю.Я. Бродский и др., ЖЭТФ, 84, 1695 (1983).

3. А.В. Ким, Г.М. Фрайман, Физика плазмы, 9, вып. 3, 613 (1983).
4. Н.А. Богатов, С.В. Голубев, В.Г. Зорин, Письма в ЖТФ, 10, вып. 5, 271 (1984).